

ИЗГИБ С РАСТЯЖЕНИЕМ ТРЕХСЛОЙНОГО ТЕРМОУПРУГОГО СТЕРЖНЯ

¹Старовойтов Э.И., ¹Попченко А.В., ²Тарлаковский Д.В.

¹Белорусский государственный университет транспорта, Гомель

²Московский авиационный институт (госунiversитет), Москва

Введение. Неоднородные конструкции нашли широкое применение в различных областях машиностроения и в строительстве, поэтому актуальна разработка методов их прочностного расчета при различных нагрузках. В работах [1–11] приведены результаты по однократному квазистатическому и динамическому деформированию трехслойных элементов конструкций, связанных и несвязанных с винклеровым основанием. Здесь рассмотрен изгиб с растяжением несимметричного по толщине трехслойного стержня в температурном поле.

Постановка задачи. Рассмотрим трехслойный стержень с жестким наполнителем (рис. 1). Систему координат x, y, z свяжем со срединной плоскостью наполнителя. Принимаем, что в тонких несущих слоях 1, 2 справедливы гипотезы Кирхгофа, в несжимаемом по толщине сравнительно толстом наполнителе 3 нормаль остается прямолинейной, не изменяет своей длины, но поворачивается на некоторый дополнительный угол $\psi(x)$.

На внешний слой стержня действует равномерно распределенная силовая нагрузка p, q . Температура T в стержне считается известной. Через $w(x)$ и $u(x)$ обозначены прогиб и продольное перемещение срединной плоскости наполнителя. На торцах предполагается наличие жестких диафрагм, препятствующих относительно сдвигу слоев.

С помощью введенных гипотез, продольные перемещения в слоях $u^{(k)}$ выражаются через три искомые функции $u(x), \psi(x)$ и $w(x)$:

$$\begin{aligned} u^{(1)} &= u + c\Pi - zw_{,x} \quad (c \leq z \leq c + h_1), & u^{(3)} &= u + z\Pi - zw_{,x} \quad (-c \leq z \leq c), \\ u^{(2)} &= u - c\Pi - zw_{,x} \quad (-c - h_2 \leq z \leq -c), \end{aligned} \quad (1)$$

где z – координата рассматриваемого волокна, запятая в нижнем индексе обозначает операцию дифференцирования по следующей за ней координате, верхний индекс k – номер слоя.

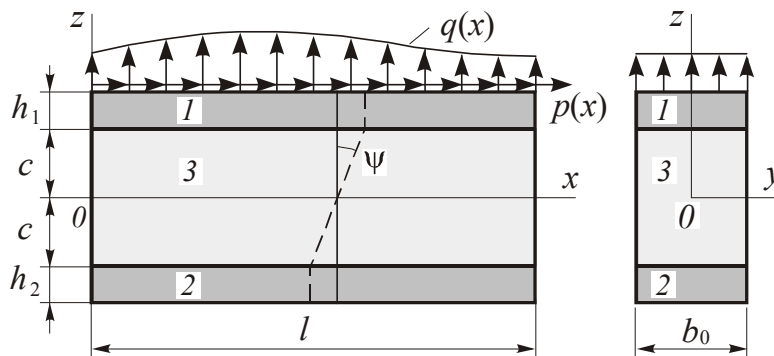


Рисунок 1 – Расчетная схема трехслойного стержня

Компоненты тензора деформаций ε_{ij} следуют из соотношений Коши и выражений (1), напряжения – из закона Гука.

Для связи напряжений и деформаций в слоях используем термоупругие соотношения закона Гука (2) в девиаторно-сферической форме

$$\begin{aligned} s_{xx}^{(k)} &= 2G_k(T_k) \varepsilon_{xx}^{(k)}, & s_{xz}^{(3)} &= 2G_3 \varepsilon_{xz}^{(3)}, \\ y^{(k)} &= 3K_k(T_k)(e^{(k)} - \alpha_{0k} T_k), \end{aligned} \quad (2)$$

где $s_{xx}^{(k)}, \varepsilon_{xx}^{(k)}$ – девиаторные, $y^{(k)}, e^{(k)}$ – сферические части тензоров напряжений и деформаций, G_k, K_k – температурно зависимые модули сдвига и объемного деформирования [9, 10], α_{0k} – коэффициент линейного температурного расширения материала k -го слоя.

Уравнения равновесия трехслойного стержня получим, используя принцип возможных перемещений Лагранжа:

$$\delta A = \delta W, \quad (3)$$

где δA , δW – вариации работ внешних сил и внутренних напряжений

$$\delta A = \iint_S (p\delta u + q\delta w) dS = b_0 \int_0^l (p\delta u + q\delta w) dx.$$

$$\delta W = \iint_S \sum_{k=1}^3 \int_{h_k} (y_{xx}^{(k)} \delta \varepsilon_{xx}^{(k)} + 2\sigma_{xz}^{(3)} \delta \varepsilon_{xz}^{(3)} \delta_{k3}) dz dS = b_0 \int_0^l \left[\sum_{k=1}^3 \int_{h_k} \sigma_{xx}^{(k)} \delta \varepsilon_{xx}^{(k)} dz + 2 \int_{h_3} \sigma_{xz}^{(3)} \delta \varepsilon_{xz}^{(3)} dz \right] dx, \quad (4)$$

где $\sigma_{xx}^{(k)}$, $\varepsilon_{xx}^{(k)}$ – напряжения и деформации.

С помощью соотношений (1) вариации деформаций в (4) выражаются через вариации независимых перемещений δu , $\delta \psi$ и δw . Подставив полученные выражения в уравнение (3) и приравняв нулю коэффициенты при независимых вариациях, получим в результате систему дифференциальных уравнений равновесия трехслойного стержня в перемещениях:

$$\begin{aligned} a_1 u_{,xx} + a_6 \psi_{,xx} - a_7 w_{,xxx} &= -p, \\ a_6 u_{,xx} + a_2 \psi_{,xx} - a_3 w_{,xxx} - a_5 \psi &= 0, \\ a_7 u_{,xxx} + a_3 \psi_{,xxx} - a_4 w_{,xxx} &= -q. \end{aligned} \quad (5)$$

Коэффициенты, входящие в систему (5) следующие

$$\begin{aligned} a_1 &= K_1^+ h_1 + K_2^+ h_2 + 2K_3^+ c, \quad a_2 = c^2 \left[K_1^+ h_1 + K_2^+ h_2 + \frac{2}{3} K_3^+ c \right], \\ a_3 &= c \left[K_1^+ h_1 \left(c + \frac{1}{2} h_1 \right) + K_2^+ h_2 \left(c + \frac{1}{2} h_2 \right) + \frac{2}{3} K_3^+ c^2 \right], \\ a_4 &= K_1^+ h_1 \left(c^2 + c h_1 + \frac{1}{3} h_1^2 \right) + K_2^+ h_2 \left(c + c h_2 + \frac{1}{3} h_2^2 \right) + \frac{2}{3} K_3^+ c^3, \\ a_5 &= 2G_3 c, \quad a_6 = c \left[K_1^+ h_1 - K_2^+ h_2 \right], \quad a_7 = K_1^+ h_1 \left(c + \frac{1}{2} h_1 \right) - K_2^+ h_2 \left(c + \frac{1}{2} h_2 \right). \end{aligned}$$

Коэффициенты a_i зависят от жесткостных параметров слоев и через них от температуры:

$$G_k(T_k) \equiv G_k(T_{0k}), \quad K_k(T_k) \equiv K_k(T_{0k}), \quad T_{0k}(t) = \frac{1}{h_k} \int_{h_k} T_k(z, t) dz.$$

Решение задачи термоупругости. Отметим, что температура в уравнения равновесия (5) не входит, поэтому можно воспользоваться аналитическим решением, полученным в [8, 9] при изотермической нагрузке трехслойного стержня. В результате при консольном закреплении левого торца стержня имеем:

$$\psi = C_2 \cdot \text{sh}(\beta x) + C_3 \cdot \text{ch}(\beta x) - \frac{1}{\beta^2} (\gamma_2 p + \gamma_1 q(x-l))$$

$$u = \gamma_3 \psi + \frac{1}{\alpha_2} \left(-\frac{1}{2} a_4 p x^2 + \frac{1}{6} a_7 q x^3 - \frac{1}{2} a_7 q l x^2 \right) + C_7 x$$

$$w = \frac{1}{\alpha_2} \left[\alpha_1 \int \psi dx - \frac{1}{6} a_7 p x^3 + \frac{1}{6} a_1 q x^3 \left(\frac{1}{4} x - l \right) \right] + \frac{1}{2} C_4 x^2 + C_6, \quad (6)$$

где

$$\int \psi dx = \frac{1}{\beta} \left(C_2 \text{ch}(\beta x) + C_3 \text{sh}(\beta x) \right) - \frac{x}{\beta^2} (\gamma_2 p + \gamma_1 q \left(\frac{1}{2} x - l \right)),$$

$$C_2 = \frac{1}{\beta^2 \text{sh}(\beta l)} \left[\Gamma_2 p (1 - \text{ch}(\beta l)) + \Gamma_1 q l \cdot \text{ch}(\beta l) \right], \quad C_3 = \frac{1}{\beta^2} \left[\Gamma_2 p - \Gamma_1 q l \right],$$

$$C_4 = \frac{1}{\alpha_2} \left[a_7 \left(p l + 3 \sum_{k=1}^3 K_k \alpha_k \int_{h_k} T_k dz \right) + a_1 \left(\frac{q l^2}{2} - 3 \sum_{k=1}^3 K_k \alpha_k \int_{h_k} T_k z dz \right) \right], \quad C_6 = -\frac{\alpha_1}{\beta \alpha_2} C_2,$$

$$C_7 = \frac{1}{\alpha_2} \left[a_4 \left(pl + 3 \sum_{k=1}^3 K_k \alpha_k \int_{h_k} T_k dz \right) + a_7 \left(\frac{ql^2}{2} - 3 \sum_{k=1}^3 K_k \alpha_k \int_{h_k} T_k z dz \right) \right].$$

$$\beta^2 = \frac{a_1 a_5 \alpha_2}{\alpha_2 \alpha_3 - \alpha_1^2} > 0, \quad \Gamma_1 = \frac{a_1 \alpha_1}{\alpha_2 \alpha_3 - \alpha_1^2}, \quad \Gamma_2 = \frac{a_6 \alpha_2 - a_7 \alpha_1}{\alpha_2 \alpha_3 - \alpha_1^2}, \quad \Gamma_3 = \frac{a_3 a_7 - a_4 a_6}{\alpha_2}.$$

Выражения обобщенной внутренней продольной силы и изгибающего момента через перемещения (6) и температуру будут

$$N = b_0 \sum_{k=1}^3 \int_{h_k} y_{xx}^{(k)} dz = b_0 \left(a_1 u_{,x} + a_6 \psi_{,x} - a_7 w_{,xx} - 3 \sum_{k=1}^3 K_k \alpha_k \int_{h_k} T_k dz \right),$$

$$M = b_0 \sum_{k=1}^3 \int_{h_k} \sigma_{xx}^{(k)} z dz = b_0 \left(a_7 u_{,x} + a_3 \psi_{,x} - a_4 w_{,xx} - 3 \sum_{k=1}^3 K_k \alpha_k \int_{h_k} T_k z dz \right).$$

Числовые результаты получены для трехслойного стержня, слои которого выполнены из материалов Д16Т-фторопласт-Д16Т. Термомеханические характеристики этих материалов приведены в таблицах 1, 2. Параметры слоев: $h_1 = h_2 = 0,03$, $c = 0,09$; интенсивность распределенной нагрузки $q = -0,15 \cdot \text{МПа}$, $p = 10 \text{ МПа}$. Температуру принимаем одинаковой во всех слоях стержня. Изменение параметров упругости несущих слоев описывается известной линейной формулой Белла [2]:

$$\{G(T), K(T), E(T)\} = \{G(0), K(0), E(0)\} \phi(T),$$

$$\phi(T) = \begin{cases} 1, & 0 < T/T_m \leq 0,06, \\ 1,03(1 - T/(2T_m)), & 0,06 < T/T_m \leq 0,57, \end{cases}$$

где T_m – температура плавления материала; $G(0)$, $K(0)$, $E(0)$ – значения модулей упругости при так называемом нулевом напряжении, которые можно определить, зная G_0 при некоторой температуре (например, при $T_0 = 293 \text{ К}$), тогда $G(0) = G_0 / \phi(T_0)$.

Таблица 1 – Термомеханические характеристики сплава Д16Т

Параметр	Значение	Параметр	Значение
$G(0)$, МПа	$0,3075 \cdot 10^5$	α_0 , 1/К	$24,3 \cdot 10^{-6}$
$K(0)$, МПа	$0,9214 \cdot 10^5$	T_0 , К	293
G_0 , МПа	$0,267 \cdot 10^5$	T_m , К	933
K_0 , МПа	$0,8 \cdot 10^5$		

Таблица 2 – Термомеханические характеристики политетрафторэтилена

Параметр	Значение	Параметр	Значение
G_0 , МПа	90	γ	1,27
K_0 , МПа	4700	T_m , К	600
B	24,44	α_0 , 1/К	$1,78 \cdot 10^{-5}$

В полимерном наполнителе зависимость параметров упругости от температуры принимается в виде, предложенном в [10]:

$$G_3(T_3) = \frac{G_3(T_0)}{\phi_3(T_3)}, \quad K_3(T_3) = \frac{K_3(T_0)}{\phi_3(T_3)}, \quad \phi_3(T) = 1 + B \left(\frac{T - T_0}{T_m} \right)^\gamma.$$

На рисунке 2 показано изменение вдоль оси стержня (a) – продольного перемещения $u(x)$, (b) – прогиба $w(x)$, (c) – относительного сдвига $\psi(x)$: 1 – изотермический изгиб ($T_1 = 293 \text{ К}$), 2 – термосиловое нагружение ($T_2 = 343 \text{ К}$), 3 – термосиловое нагружение ($T_3 = 393 \text{ К}$). Нагревание стержня на 50 К приводит к увеличению максимальных перемещений на 68–71 % по сравнению с изотермическим деформированием. При нагревании на 100 К подобное увеличение достигнет 132–138 %.

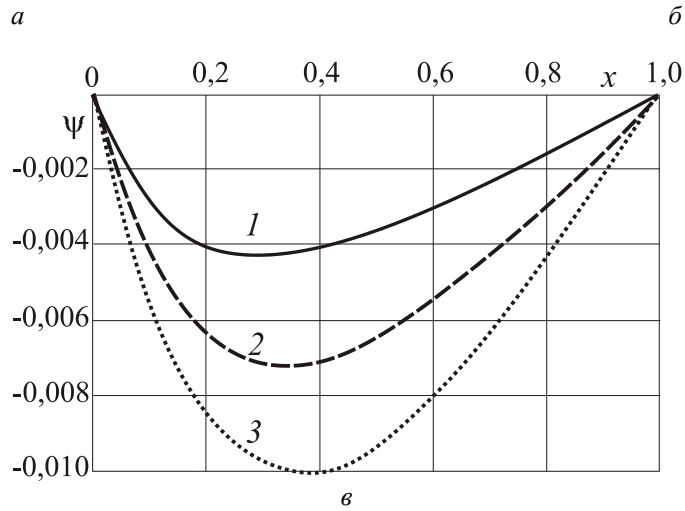
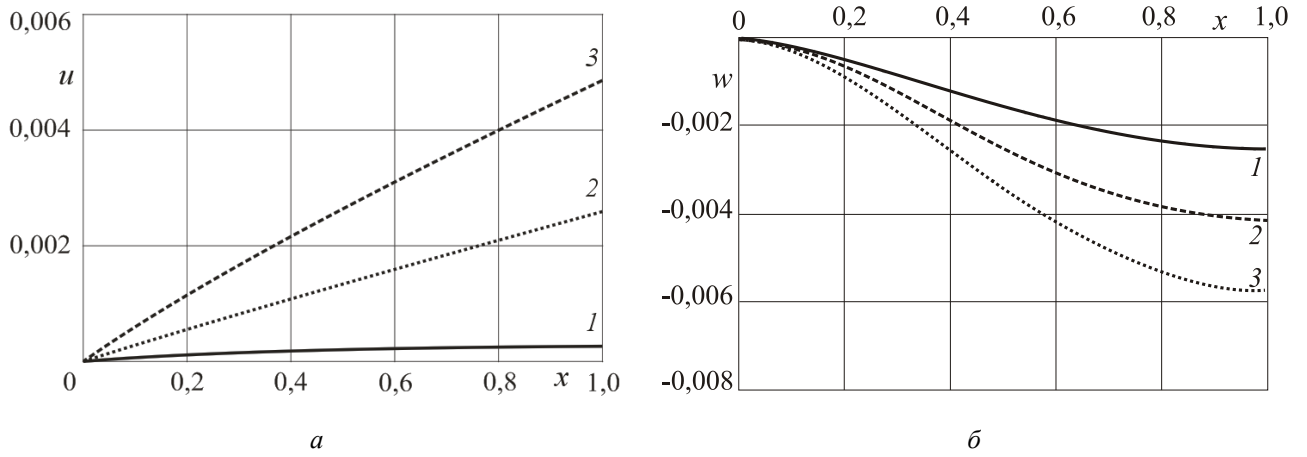


Рисунок 2 – Изменение перемещений вдоль оси стержня

Распределение по поперечному сечению $x = 0$ линейной деформации ϵ_{xx} и нормальных напряжений σ_{xx} показано на рис. 3, 4. Нумерация кривых прежняя. Деформации на склейках слоев непрерывны, при нагревании стержня графики смещаются практически параллельно в положительную область. Напряжения достигают максимума в заделке. Воздействие температуры приводит к увеличению экстремумов напряжений во внешних слоях на 14–43 %, в заполнителе – на 20–60 %.

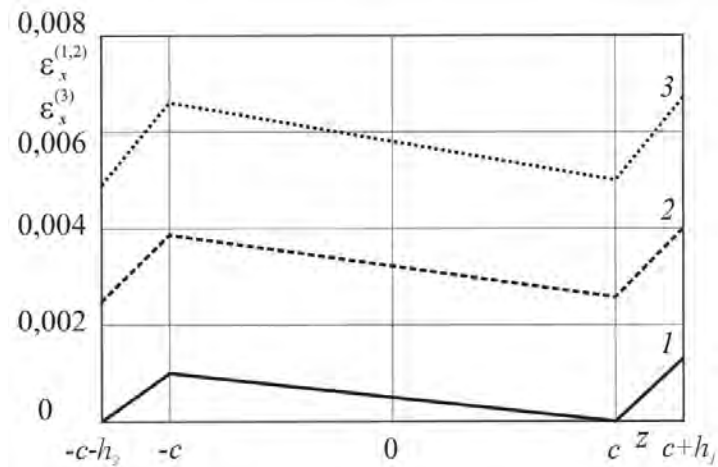


Рисунок 3 – Линейные деформации в поперечном сечении

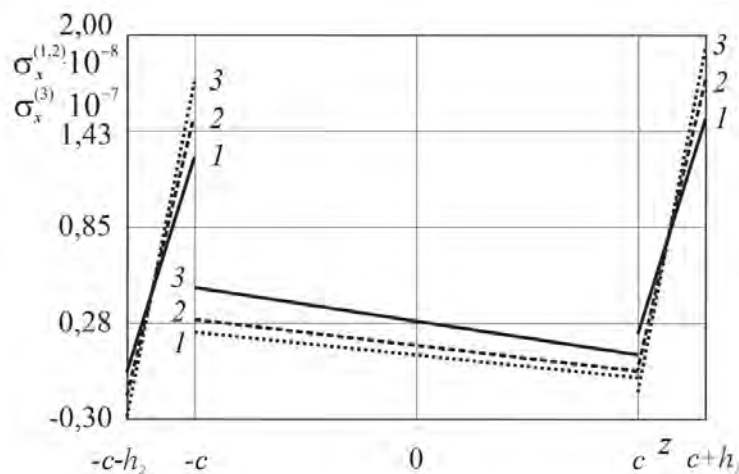


Рисунок 4 – Нормальные напряжения в поперечном сечении

Выводы. Приведенная методика и решение краевой задачи позволяют проводить анализ напряженно-деформированного состояния трехслойного стержня при изгибе в температурном поле.

Литература

1. Cheng, Z. Theory for multilayered anisotropic plates with weakened interfaces / Cheng Z., Jemah A.K., Williams F.W. // Trans. ASME. J. Appl. Mech. – 1996. – 63, N 4. P. – 1019–1026.
2. Горшков, А.Г. Гармоническое нагружение слоистых вязкоупругопластических систем / А.Г. Горшков, Э.И. Старовойтов, А.В. Яровая // Известия Российской академии наук. Механика твердого тела. 2000. № 6. С. 91-98.
3. Starovoitov, E.I. Vibrations of circular sandwich plates under resonance loads / E.I. Starovoitov, D.V. Leonenko, A.V. Yarovaya // International Applied Mechanics. 2003. Т. 39. № 12. С. 1458-1463. 7
4. Горшков, А.Г. Колебания трехслойных стержней под действием нагрузок различных форм / А.Г. Горшков, Э.И. Старовойтов, Д.В. Леоненко // Экологический вестник научных центров Черноморского экономического сотрудничества. 2004. № 1. С. 45-52.
5. Старовойтов, Э.И. Изгиб прямоугольной трехслойной пластины на упругом основании / Э.И. Старовойтов, Е.П. Доровская // Проблемы машиностроения и автоматизации. 2006. № 3. С. 45-50.
6. Старовойтов, Э.И. Термоупругий изгиб кольцевой трехслойной пластины на упругом основании / Э.И. Старовойтов, Д.В. Леоненко, М. Сулейман // Экологический вестник научных центров Черноморского экономического сотрудничества. 2006. № 4. С. 55-62.
7. Leonenko, D.V. Thermoplastic strain of circular sandwich plates on an elastic base / D. V. Leonenko, E.I. Starovoitov // Mechanics of Solids. – 2009, Vol. 44, N 5. – P. 744–755.
8. Starovoitov, E.I. Deformation of a three-layer elastoplastic beam on an elastic foundation / E.I. Starovoitov, D.V. Leonenko // Mechanics of Solids. – 2011. – Vol. 46, № 2. – P. 291–298.
9. Плескачевский, Ю. М. Механика трехслойных стержней и пластин, связанных с упругим основанием / Ю. М. Плескачевский, Э. И. Старовойтов, Д. В. Леоненко – М.: ФИЗМАТЛИТ, 2011. – 560 с.
10. Starovoitov, E. I. Foundations of the theory of elasticity, plasticity and viscoelasticity / E. I. Starovoitov, F.B. Nagiyev – Apple Academic Press, Toronto, New Jersey, Canada, USA, 2012. – 346 p.
11. Поленов, В.С. Распространение волн в насыщенной жидкостью неоднородной пористой среде / В.С. Поленов, А.В. Чигарев // Прикладная математика и механика. – 2010. –Т. 74, № 2. – С. 276-284.

Summary

The bending with tension of three-layer elastic beam in a temperature field is considered. To describe kinematics of asymmetrical over thickness core pack the hypotheses of the broken normal are accepted. A system of equilibrium equations in terms of displacements has been derived. Analytical deciding a problem are received and their numeric analysis are conducted.

Поступила в редакцию 23.10.2012